# 超薄LiNbO3晶片与窗玻璃

的真空扩散法焊接

# 梁振宪\*

侯

泊

(中国科学院西安光学精密机械研究所,西安 710068)

茹 黄

(西安仪表厂,西安 710082)

摘 要 超薄LiNbO3晶片与窗玻璃的焊接是制作微通道板空间光调制器的关 键工艺之一. 常规的焊接方法满足不了对焊接面的特殊要求. 本文作者依照真空 扩散焊原理,开发了一种用廉价金属铝作过渡层的焊接工艺,实现了这两种非 金属材料之间的机械及电气上的牢靠连接,

关键词 真空扩散法焊接,微通道板空间光调制器:真空工艺;光电子技术

## 引

微通道板空间光调制器 (MSLM) 是一种用于光学信息处理以及大宽屏投影显示的光 电子器件,器件结构中尺寸为0.3mm×φ18mm的斜切LiNbO3晶片是其工作的核心。 该晶片一面镀有复合介质膜 (MgF2 + ZrO2 / SiO2 全反镜),另一面镀有透明导电的 ITO (Sn: In2 O3)膜层. 按设计要求应将 ITO面牢靠地贴合到 K4 玻璃与可伐金属环封 接后形 成的输出窗上,并使导电膜与环电极之间有良好地电接触 因而需要采用一特殊的微焊 接(粘接)工艺,对这一过程的限制除上述双重功能的要求外还包括: 1)由于焊接面将 处于真空管内,故应避免高蒸汽压及污染材料的介入; 2) 读出/输出光将通过焊接面, 工艺过程不应破坏已加工好的窗玻璃及 LiNbO。 晶片的高精度光学面, 且本身不应引入 附加的光学畸变,特别地,加工温度不应超过窗玻璃的软化点(对 Kg约 为 520℃); 3) 后 部工序的兼容性问题,即焊面应承受高温热冲击及400℃/30h的热烘烤.

常见的一些焊接(粘接)工艺都不能直接采用,如导电胶、银膏类焊接会引入有机 沾污: 钎焊工艺在上述温度限制区内 (400°-500℃)难以选择合适的真空焊料且不易保 证焊面平整. 在 MSLM 研制过程中, 我们试图采用真空扩散焊技术<sup>2</sup>, 通过大量的实验研 究,选择铝作为过渡层解决了这一技术难题.

### 工艺准备

#### 1.1 焊接结构

接设计要求 LiNbO<sub>3</sub> 晶片应紧贴在窗玻璃上。 为了保证有效地通光,采用图 1 所示的

• 现在西安交通大学电气工程系工作

收稿日期: 1992-11-06

对接方式.即在ITO面及窗玻璃上首先金属化一层 ф 15mm的金属膜环节.这层金属首先应保证与ITO及 K4 玻璃有良好的粘附性,其次与ITO膜之间形成欧姆接触.玻璃面上的金属膜与可伐环电极通过银膏涂层连接.这样焊接转化为两组件金属膜面间的结合.考虑到一般蒸镀设备难以制备较厚的膜层,满足不了扩散焊接所必需的一定程度塑性形变的要求.为此在这两层金属膜之间安排放置一数十微米厚的金属箔环(即中间夹层).它可以与膜层是同种或异种材料.

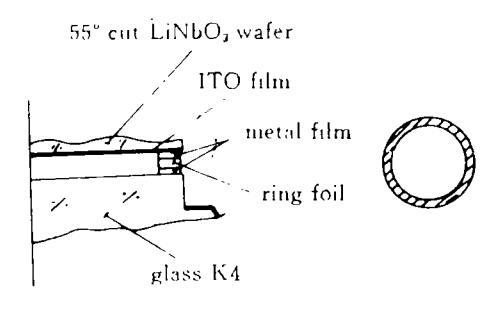


图 1 MSLM用调制组件剖面图

Fig. 1 Configuration of the modulation assembly used in MSLM.

#### 1.2 金属材料的选择

对上述结构的焊接过程除满足一般要求外,温度是限制的主要因素,即 $T_{\mu}$ =450~500°C. 真空扩散焊本身对温度也有较为严格的选择. 一般遵循  $T_{\mu}$ = (0.53~0.86) $T_{\mu}$  (K)³. 满足上述要求的大部分材料为电真空合金材料. 一般来说合金材料不利于原子扩散和再结晶过程的进行. 纯金属材料如常见的 Cu、Ni、Ag等其熔点都过高². 在此我们注意到电子工业中广泛使用的纯金属铝具有如下特点: 1)熔点低 (660°C),恰好满足工艺的温度选择,且在高温下有低的蒸汽压: 2)塑性好,在压力较小时就可以自由地形变. 这对易碎的  $LiNbO_3$  薄片特别有利于加压. 此外, $LiNbO_3$  的热胀系数呈各向异性与玻璃本身并不吻合. 高塑性可较好地消除焊面的残余应力; 3)与 ITO膜可形成良好的欧

姆接触: 4) 传热性能好,有利于较快地达到 热平衡; 5) 易于加工,能精确地保证 LiNbO<sub>3</sub> 晶片与玻璃之间的平行度. 鉴于此,图 1 结 构中的金属膜及过渡用箔层均选用纯金属铝.

#### 1.3 设备描述

真空扩散焊机由真空系统、加热源及加压机构等组成。图 2 是装配的焊接系统结构示意图。采用石英玻璃钟罩通过橡胶垫圈与真空机组连接形成真空室。电阻丝炉作为外加热源。温度测量通过真空室内的热电偶及室外温度计来完成。压力施加利用了图 3 所示的特殊夹具。焊件按图 1 所示的装配顺序对齐,通过旋动顶杆到一定程度使焊面紧密接触。放入真空室后不锈钢具受热膨胀对焊面进一步加压,有利于扩大接触面积,使接头更牢靠。

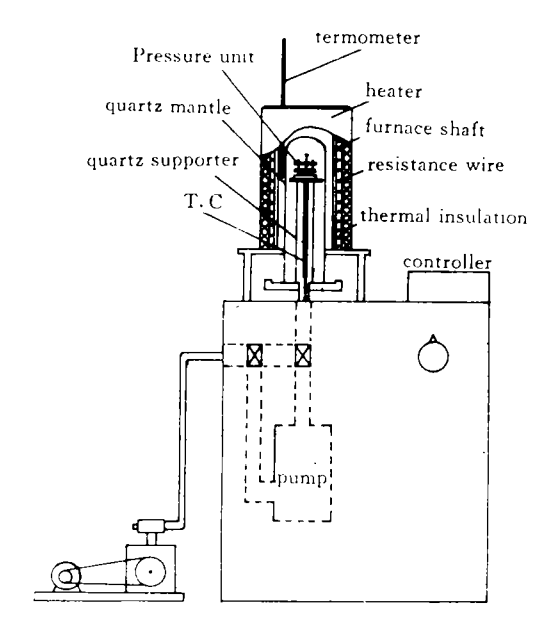


图 2 真空扩散焊设备

Fig. 2 Schematic diagram of the vacuum diffusion welding equipment.

行原子间的高温扩散. 但所不同的是这时压力撤消,各焊件及金属膜层不同程度的热膨胀可能对接头有影响. 为此将焊好的组件放入真空炉内进行 400 ℃/10 h的热处理,待自然冷却后按1) 所述检查焊接强度.结果表明,接头依然牢靠.

另外为了检验铝膜与ITO膜之间的电接触情况将镀有ITO膜及 Al膜环的 LiNbO₃ 晶片同炉热处理.取出后测量接触未发现有明显的变化.

3) 热冲击试验: 按设计的 MSLM工艺程序复合介质膜(ZrO₂/SiO₂全反镜+MgF₂) 是在焊接完成后利用电子束蒸发工艺制备的¹. 这一过程中除衬底需加热到 200℃ 外坩锅中原料熔化后会成为一个温度很高的辐射热源,焊件不可避免地受到短时热冲击. 为此进行的模拟实验是将焊件放入真空炉内使温度迅速升高到460℃又快速降温,接着进行另一个升、降周期. 连续进行 5 次. 遂后进行机械及电学检验. 结果表明, 热冲击对焊接强度及 Al-ITO间的电接触不构成影响.

对满足上述检验要求的组件进行了介质膜的制备,实际结果证明了焊接面的耐热冲击性.

上述三组模拟实验实际上就是实用的焊接工艺条件的确定过程。由于温度的变化范围不能太大,压力不易调整,加热时间是作为主要变化量,大量的对比实验结果表明450℃/30 min 是相对最佳的处理条件.

采用包括这一焊接过程在内的一套 MSLM工艺制作了一近贴式 MSLM样管<sup>4</sup>. 其功能与性能均达到设计要求. 证明了所采用的上述铝膜、铝箔作中间过渡层的 LiNbO<sub>3</sub>/窗玻璃的真空扩散焊工艺的有效性及良好的兼容性. 成功地解决了 MSLM中的 这一技术难题.

真空扩散焊本身仍处于一个发展阶段<sup>3</sup>. 本文所进行的工作又提供了一种廉价、易加工的焊接范例. 由于它独特的温度、环境适用范围,在光电器件中有广泛的应用前景. 本文工作只进行了初步实用性研究,其有关机理未作详细讨论;此外由于Al易氧化,压力提供不易定量控制,工艺过程本身的难度较大,而且成品率也较低. 这些都还需要进一步的完善.

系统的配置得到王治平、庞其昌的帮助,在此谨致谢意.

#### 参考文献

- 1 梁振宪. 微通道板空间光调制器的研究(博士论文). 中国科学院西安光学精密机械研究所, 1992
- 2 金德宣. 微电子焊接技术. 北京: 电子工业出版社, 1990: 249~257
- 3 电子工业生产技术手册编辑委员会. 电子工业生产技术手册 (4). 北京: 国防工业出版社, 1990: 492 ~503
- 4 梁振宪, 侯洵. 一种近贴式微通道板空间光调制器. 光学学报, 1993, 13

